

تعیین توزیع بهینه ساختار استوانه دوار ساخته شده از مواد هدفمند بر اساس تنש‌های گرمایی- مکانیکی

فرید وکیلی تهامی

ساناز سعادتمند هاشمی

اکبر رسولیان*

چکیده

در مقاله حاضر تحلیل حرارتی- مکانیکی یک استوانه دوار هدفمند مورد بررسی قرار گرفته است. بدین‌منظور نخست معادلات دیفرانسیل حاکم بر توزیع دما و جابه‌جایی برای یک استوانه هدفمند با فرض وجود شرایط کران محوری گستری صفحه‌ای و تقارن محوری گستری ایجاد شده است. سپس با درنظر گرفتن توزیع نمایی برای خواص فیزیکی، با استفاده از روش تحلیلی ابتدا معادله دیفرانسیل حاکم بر توزیع دما حل شده و در مرحله بعد، با استفاده از توزیع دمای بهدست آمده و معادله دیفرانسیل جابه‌جایی، رفتار مکانیکی استوانه تعیین شده است. سپس با استفاده از نتایج حاصله، نحوه توزیع بهینه مواد در شرایط کاری یکسان ولی با تغییر سرعت دورانی و یا تغییر فشار داخلی حاصل می‌گردد. در نهایت، نتایج برای حالت‌های مختلف ارائه شده و نحوه توزیع مواد بهینه برای داشتن بیشترین ضربه اطمینان با استفاده از منحنی‌های نتایج بهدست آمده، تعیین شده‌اند.

واژه‌های کلیدی: تحلیل حرارتی- مکانیکی، حل تحلیلی، استوانه دوار، ماده هدفمند، توزیع بهینه مواد.

Determination of the Optimum Configuration for the FGM Rotating Cylinder Based on Thermo-mechanical Stresses

F. Vakili-Tahami

Faculty of Mechanical Engineering, University of Tabriz, Tabriz, Iran

S. Saadatmand Hashemi

Young Researchers and Elite Club, Tabriz Branch, Islamic Azad University, Tabriz, Iran

A. Rasoulian

Young Researchers and Elite Club, Tabriz Branch, Islamic Azad University, Tabriz, Iran

Abstract

In this paper thermo-mechanical analysis for a rotating thick cylinder made of FGM is carried out. For this purpose, governing differential equations of the temperature and displacement distribution for the FGM cylinder have been developed assuming plane strain and axial symmetry. Then, by considering an exponential function form for the material property distribution of the FGM along the cylinder thickness; and, using analytical solution method, the governing differential equations for temperature distribution have been solved. Based on the calculated temperature distribution and governing differential equations for displacement the mechanical behavior of the cylinder has been investigated. Finally, according to the stress distributions for different rotating speed and internal pressure, the safety factors have been obtained and the optimum material distribution is determined.

Keywords: Thermo-mechanical Analysis, Analytical Solution, Rotating Cylinder, Functionally Graded Material (FGM), Optimum Material Distribution.

و استوانه‌ای هدفمند را که تنها تحت فشار داخلی می‌باشد، با استفاده از نظریه تغییرشکل‌های بینایت کوچک بهدست آورده‌اند. آنها تغییرات سفتی مواد در دیواره مخازن را با توزیع نمایی فرض نموده‌اند. روحی و همکاران [۲] در سال ۲۰۰۵ میلادی استوانه هدفمند جدار ضخیم با طول محدود را مورد بررسی قرار داده‌اند. در پژوهش آنان، معادلات دیفرانسیل جزئی حاکم بر مسئله توسط بسط فوريه در جهت محوری تبدیل به معادلات دیفرانسیل معمولی شده و پس از آن دیواره استوانه در جهت شعاعی به تعدادی زیربازه تقسیم‌بندی شده و خواص مؤثر مواد در هر زیربازه از رابطه توانی بهدست آمده است. یو و یانگ [۳] در سال ۲۰۰۵ میلادی به بررسی رفتار الاستیک کره هدفمند تحت فشار داخلی با فرض مدول الاستیسیته متغیر در دو نوع مخزن ساندویچی با لایه میانی هدفمند و لایه‌های داخلی و خارجی همگن و نیز مخزن کاملاً هدفمند پرداخته‌اند. دای فو و دونگ [۴] در سال ۲۰۰۶ میلادی رفتار الاستیک- مغناطیسی مخزن استوانه‌ای و کروی هدفمند تحت

۱- مقدمه

مواد هدفمند بیانگر دسته‌ای از مواد هستند که ریزساختار آنها می‌تواند در سه بعد، به صورت فضایی و به‌منظور دستیابی به خواص مکانیکی یا گرمایی مشخص، تغییر کند تا کارکرد مناسب و مشخصه‌های مطلوب سازه راحقق سازند. این مواد به عنوان مواد کامپوزیتی جدید ولی با تغییرات خواص پیوسته شناخته می‌شوند که برخلاف مواد مركب لایه‌ای متداول، در این مواد خواص فیزیکی به صورت پیوسته تغییر می‌کنند. نیاز به وجود مواد مقاوم در برابر با رهای گرمایی- مکانیکی، منجر به معرفی و تولید مواد هدفمند با قابلیت تحمل بارهای متفاوت در جهات مختلف شده است. با توجه به کاربرد مخازن تحت فشار در صنایع مختلف و لزوم تحمل بارگذاری‌های مختلف گرمایی و مکانیکی در جهات گوناگون، بررسی تأثیر استفاده از این مواد در ساخت مخازن اهمیت فراوانی دارد. توونچی و ازترک [۱] در سال ۲۰۰۱ میلادی حل دقیق تنش‌ها و جابجایی‌های مخازن کروی

* نویسنده مکاتبه کننده، آدرس پست الکترونیکی: a.s.rasoulian@tabrizu.ac.ir

تاریخ دریافت: ۹۵/۰۴/۲۸

تاریخ پذیرش: ۹۵/۰۷/۰۳

استوانهای جداره ضخیم از جنس مواد هدفمند تحت فشار داخلی و گرادیان دمایی پرداخته‌اند. مدول الاستیسیته، ضریب انتقال گرما، ضریب انبساط گرمایی و تنش تسلیم توابعی از شاعع فرض شده‌اند. تکالی [۱۹] در سال ۲۰۱۶ میلادی به بررسی عددی و تحلیلی تنش‌های گرمایی-مکانیکی گذرا ای استوانه جدار ضخیم توخالی پرداخته است. در پژوهش وی، خواص استوانه در راستای شعاعی از سرامیک در جداره داخلی به فلز در جداره خارجی متغیر و استوانه تحت فشار داخلی و گرادیان دما در نظر گرفته شده است. نجیبی و شجاعی فرد [۲۰] در همین سال، تنش‌های دوبعدی الاستومکانیکی در یک استوانه جدار ضخیم را مورد بررسی قرار داده‌اند. نتایج نشان می‌دهند که مقدار تنش مؤثر برای استوانه‌ای با جداره داخلی سرامیکی نسبت به استوانه تک‌جنسه کمتر (حدود نصف) می‌باشد.

در پژوهش حاضر، تحلیل ترموالاستیک یک استوانه دوره هدفمند مورد بررسی قرار گرفته است. بدین‌منظور نخست معادلات دیفرانسیل توزیع دما و جابه‌جایی برای یک استوانه هدفمند با فرض وجود شرایط کرنش صفحه‌ای و تقارن محوری گسترش یافته‌اند؛ سپس با درنظر گرفتن یک توزیع نمایی برای خواص فیزیکی، ابتدا با استفاده از روش تحلیلی، معادله دیفرانسیل توزیع دما و در مرحله بعد با استفاده از این توزیع دما، معادله دیفرانسیل جابه‌جایی حل شده است. سپس با استفاده از نتایج حاصله، نحوه توزیع بهینه مواد در شرایط کاری یکسان ولی با تغییر سرعت دورانی و یا فشار داخلی حاصل می‌گردد. در نهایت، نتایج برای حالت‌های مختلف ارائه شده و نحوه توزیع مواد بهینه برای داشتن بیشترین ضریب اطمینان بر اساس نتایج به دست آمده تعیین شده‌اند.

۲- مواد و روش‌ها

۲-۱- استخراج معادلات

با فرض \ll به عنوان مولفه جابه‌جایی و \ll به عنوان شاعع استوانه، روابط کرنش شعاعی و محیطی در مختصات استوانه‌ای با شرط وجود تقارن محوری، به صورت رابطه (۱) می‌باشد:

$$\epsilon_{rr} = \frac{du}{dr}, \quad \epsilon_{\theta\theta} = \frac{u}{r} \quad (1)$$

در رابطه مذکور ϵ_{rr} کرنش شعاعی و $\epsilon_{\theta\theta}$ کرنش محیطی می‌باشد. روابط تنش-کرنش با فرض وجود کرنش‌های گرمایی به صورت رابطه (۲) ارائه می‌شوند:

$$\begin{aligned} \sigma_{rr} &= (\lambda + 2\mu)\epsilon_{rr} + \lambda\epsilon_{\theta\theta} - (3\lambda + 2\mu)\alpha T(r) \\ \sigma_{\theta\theta} &= (\lambda + 2\mu)\epsilon_{\theta\theta} + \lambda\epsilon_{rr} - (3\lambda + 2\mu)\alpha T(r) \end{aligned} \quad (2)$$

که در آن σ_{rr} و $\sigma_{\theta\theta}$ به ترتیب تنش‌های شعاعی و محیطی می‌باشند. همچنین λ و μ نیز که به ثابت لامه مشهورند، با روابط (۳) و (۴) تعریف می‌شوند:

$$\lambda = \frac{vE}{(1+v)(1-2v)} \quad (3)$$

$$\mu = \frac{E}{2(1+v)} \quad (4)$$

در این روابط E نشانگر مدول الاستیسیته و v بیانگر ضریب پواسون می‌باشد. رابطه تعادل در مختصات استوانه‌ای به صورت زیر بیان می‌شود:

$$\frac{d\sigma_{rr}}{dr} + \frac{1}{r}(\sigma_{rr} - \sigma_{\theta\theta}) = 0 \quad (5)$$

فشار داخلی و میدان مغناطیسی را با فرض تابع توانی برای مدل کردن مدول الاستیسیته و ضریب نفوذپذیری مغناطیسی مطالعه کرده و نشان داده‌اند که این متغیرها تأثیر زیادی بر تنش و آشفتگی میدان جریان مغناطیسی دارند. در همین سال، اراسلان و آکیز حل محور و دیسک توپر دور را در حالت‌های تنش و کرنش صفحه‌ای با خواص پیوسته مکانیکی به صورت نمایی و سه‌می [۵] و حل الاستیک-پلاستیک لوله تحت فشار را در حالت کرنش صفحه‌ای [۶] بررسی کرده‌اند. ژیفای و هونگ‌جون [۷] در سال ۲۰۰۶ میلادی حل استوانه‌های توخالی با تغییرات خطی خواص مکانیکی در راستای شعاعی را با روش تقسیم‌بندی استوانه به لایه‌هایی همگن با خواص فیزیکی ثابت (همگن و همسانگرد) ارائه کرده‌اند. توتوچی [۸] در سال ۲۰۰۷ میلادی در مقاله‌ای مشابه، توزیع تنش‌ها را در یک استوانه ناهمگن و با در نظر گرفتن

تغییرات مدول الاستیسیته به صورت نمایی به دست آورده است. علاوه بر مطالعه رفتار گرمایی-مکانیکی مخازن، تعیین رفتار استوانه‌های دور نیز در بسیاری از مسائل صنعتی مانند سانتریفیوژها و موتورهای الکتریکی اهمیت دارد. در زمینه تحلیل رفتار الاستیک و الاستیک-پلاستیک استوانه و دیسک همگن دور، پژوهش‌های زیادی نیز انجام شده است. اراسلان و اکیس [۹] در سال ۲۰۰۷ میلادی رفتار استوانه هدفمند دور را بر اساس رفتار الاستیک پلاستیک کامل تحلیل نموده و نشان داده‌اند که بر اساس فرض‌های صورت گرفته و بسته به پارامتر توان مدول الاستیسیته، تسلیم می‌تواند از داخل، خارج یا هم زمان از داخل و خارج شروع شود. یو و همکاران [۱۰] در همین سال با انتخاب تابع‌های توانی برای تغییرات مدول الاستیسیته، ضریب انبساط گرمایی و چگالی، تغییرشکل ترموالاستیک دیسک هدفمند دور تحت بارگذاری گرمایی را به صورت تحلیلی مورد مطالعه قرار داده‌اند. طهانی و طالبیان [۱۱] در سال ۲۰۰۹ میلادی به تحلیل رفتار ترموالاستیک مخزن‌های استوانه‌ای هدفمند پرداخته‌اند. حیدری و کاظمی [۱۲] در همین سال رفتار الاستیک-پلاستیک مخازن جدار ضخیم هدفمند تحت فشار داخلی را بر اساس مدل پلاستیک ایده‌آل تحلیل و نتایج را برای جنس ALA359/Sicp بررسی کرده‌اند. توتوچی و تیمل [۱۳] در سال ۲۰۰۹ میلادی به تحلیل تنش استوانه‌ها، دیسک‌ها و کره‌های هدفمند تحت فشار پرداخته‌اند. در بررسی ایشان، ماده در جهت شعاعی هدفمند فرض شده ولی تغییرات خواص مواد از جمله مدول الاستیسیته و ضریب پواسون تابع دلخواهی از مختصه شعاعی فرض شده‌اند. قاجار و مهرابیانی [۱۴] در سال ۲۰۱۰ میلادی رفتار ترموالاستیک استوانه‌های جدار ضخیم هدفمند را با در نظر گرفتن تنش‌های پسماند حرارتی تحلیل و توزیع تنش را به دست آورده‌اند. در همین سال مهدوی و همکاران [۱۵] رفتار ترموالاستیک دیسک دور هدفمند را با فرض ضخامت متغیر و توزیع غیریکنواخت شعاعی میدان دما تحلیل کرده‌اند. احمدی و جبارزاده [۱۶] در سال ۲۰۱۴ میلادی به تحلیل غیرخطی ترموالاستیک دیسک‌های دور توخالی FGM تحت بارگذاری مکانیکی و دمایی پرداخته و خواص متغیر مواد در راستای ضخامت را مطابق تابع توانی در نظر گرفته‌اند. عظیمی و غلامی [۱۷] در سال ۲۰۱۴ میلادی، توزیع دما در یک استوانه توخالی مشکل از مواد هدفمند را بررسی نموده‌اند. در بررسی آنان، استوانه به صورت یک بعدی و کاملاً متقاضن و بدون حضور منبع گرمایی در نظر گرفته شده است. قبری و فرهنگی [۱۸] در سال ۲۰۱۵ میلادی به تحلیل ترموالاستیک پلاستیک پوسته

مانند سایر خواص به صورت توانی و با رابطه (۱۲) تعریف می‌شود:

$$k(r) = k_0 r^{m_3} \quad (12)$$

که در آن k_0 ثابت معلوم برای رسانایی گرمایی و m_3 توان مربوط به توزیع خواص می‌باشد. با استفاده از رابطه (۲) معادله توزیع دما به شکل رابطه (۱۳) به دست می‌آید:

$$\frac{d}{dr} [r^{m_3+1} \frac{dT(r)}{dr}] = 0 \quad (13)$$

با انتگرال‌گیری از معادله (۱۳) توزیع دما به شکل رابطه (۱۴) به دست می‌آید:

$$T(r) = -\frac{A_1}{m_3} r^{-m_3} + A_2 \quad (14)$$

که در آن A_1 و A_2 ثوابت انتگرال‌گیری می‌باشد. با استفاده از شرایط مرزی موجود در روابط (۱۱)، ثوابت انتگرال‌گیری A_1 و A_2 مطابق روابط (۱۵) تعیین می‌شوند:

$$A_1 = \frac{C_{21}f_1 - C_{11}f_2}{\left[C_{21}(C_{12}a^{-(m_3+1)} - \frac{C_{11}a^{-m_3}}{m_3}) - C_{11}(C_{22}b^{-(m_3+1)} - \frac{C_{21}b^{-m_3}}{m_3}) \right]} \\ \left[(C_{12}a^{-(m_3+1)} - \frac{C_{11}a^{-m_3}}{m_3})f_2 - (C_{22}b^{-(m_3+1)} - \frac{C_{11}b^{-m_3}}{m_3})f_1 \right] \quad (15)$$

$$A_2 = \frac{\left[C_{21}(C_{12}a^{-(m_3+1)} - \frac{C_{11}a^{-m_3}}{m_3}) - C_{11}(C_{22}b^{-(m_3+1)} - \frac{C_{21}b^{-m_3}}{m_3}) \right]}{m_3} \quad (16)$$

حال پس از یافتن توزیع دما می‌توان پاسخ دما را در معادله دیفرانسیل حاکم بر توزیع جابه‌جایی (۱۰) جانشانی کرد:

$$\frac{d^2u}{dr^2} + \frac{1}{r}(m_1+1)\frac{du}{dr} + \frac{1}{r^2}(\frac{vm_1}{1-v} - 1)u \\ = \frac{1+v}{1-v}\alpha_0[((m_1+m_2)(-\frac{A_1}{m_3}) + A_1)r^{m_2-m_3-1} + (m_1+m_2)A_2r^{m_2-1}] \quad (16)$$

$$\Rightarrow \frac{d^2u}{dr^2} + \frac{1}{r}(m_1+1)\frac{du}{dr} + \frac{1}{r^2}(\frac{vm_1}{1-v} - 1)u \\ = A_3r^{m_2-1} + A_4r^{m_2-m_3-1} \quad (17)$$

با اعمال رابطه (۱۷) ضرایب A_3 و A_4 با روابط (۱۸) تعریف می‌شوند:

$$A_3 = A_2 \frac{1+v}{1-v} \alpha_0(m_1+m_2) \quad (18)$$

$$A_4 = A_1 \frac{1+v}{1-v} \alpha_0(-\frac{m_2-m_1}{m_3} + 1)$$

برای حل معادله مزبور یک جواب عمومی و یک جواب خصوصی باید

تعریف شوند که جواب عمومی به صورت رابطه (۱۹) تعریف می‌شود:

$$u^g = B_1 r^{\alpha_1} + B_2 r^{\alpha_2} \quad (19)$$

و B_1 و B_2 ضرایب جواب عمومی می‌باشند. α_1 و α_2 با استفاده از معادله مشخصه برنولی (۲۰) به صورت عبارت (۲۱) به دست می‌آیند:

$$\alpha(\alpha-1) + (m_1+1)\alpha + (\frac{vm_1}{1-v} - 1) = 0 \quad (20)$$

$$\alpha^2 + m_1\alpha + (\frac{vm_1}{1-v} - 1) = 0$$

با توجه به اینکه خواص در این پژوهش به صورت تابعی توانی بر حسب ۲ فرض شده‌اند، می‌توان نوشت:

$$E(r) = E_0 r^{m_1}, \quad \alpha(r) = \alpha_0 r^{m_2} \quad (6)$$

که در آنها E_0 و α_0 به ترتیب ثوابت معلوم مدول الاستیسیته و ضربیب انسپاسط گرمایی و m_1 و m_2 توان‌های توزیع خواص می‌باشند. با جایگذاری ثوابت لامه و مدول الاستیسیته، روابط (۲) به صورت روابط (۷) در می‌آیند:

$$\sigma_{rr} = \frac{E_0 r^{m_1}}{(1+v)(1-2v)} [(1-2v+v)\epsilon_{rr} + v\epsilon_{\theta\theta} - (1+v)\alpha T(r)] \quad (7)$$

$$\sigma_{\theta\theta} = \frac{E_0 r^{m_1}}{(1+v)(1-2v)} [(1-2v+v)\epsilon_{\theta\theta} + v\epsilon_{rr} - (1+v)\alpha T(r)]$$

با مشتق‌گیری از رابطه (۷) معادله (۸) حاصل شده است:

$$\frac{d\sigma_{rr}}{dr} = \frac{E_0}{(1+v)(1-2v)} [(1-v)r^{m_1} \frac{d^2u}{dr^2} + (1-v)m_1 r^{m_1-1} \frac{du}{dr} + vr^{m_1} (\frac{du}{dr} - \frac{u}{r^2}) + vm_1 r^{m_1-1} u/r - (1+v)(r^{m_1} \alpha_0 r^{m_2} \frac{dT}{dr} + r^{m_1} \alpha_0 r^{m_2-1} m_2 T + \alpha_0 m_1 r^{m_1-1} r^{m_2} T)] \quad (8)$$

با جایگذاری روابط (۷) و (۸) در معادله تعادل روابط (۵)، معادله دیفرانسیل (۹) حاصل می‌شود:

$$(1-v) \frac{d^2u}{dr^2} + \frac{1}{r} [(1-v)m_1 + (1-v)] \frac{du}{dr} + \frac{1}{r^2} [v m_1 - (1+v)] u = (1+v)\alpha_0 [(m_1+m_2)Tr^{m_2-1} + r^{m_2} \frac{dT}{dr}] \quad (9)$$

بنابراین معادله دیفرانسیل برای جابه‌جایی به شکل رابطه (۱۰) حاصل می‌شود:

$$\frac{d^2u}{dr^2} + \frac{1}{r}(m_1+1)\frac{du}{dr} + \frac{1}{r^2}(\frac{vm_1}{1-v} - 1)u = \frac{1+v}{1-v}\alpha_0 ((m_1+m_2)Tr^{m_2-1} + r^{m_2} \frac{dT}{dr}) \quad (10)$$

در رابطه (۱۰) برای محاسبه تنش ناشی از اختلاف دمای دو سطح داخلی و بیرونی، باید توزیع دما محاسبه شود؛ لذا در قسمت بعد، خلاصه‌ای از مبانی تئوری برای تحلیل گرمایی استوانه‌ها بیان می‌گردد.

۲-۲-۲- استخراج معادله دما

برای استخراج معادله دیفرانسیل حاکم بر توزیع دما از قانون فوریه استفاده شده است. این قانون به همراه شرایط مرزی در رابطه (۱۱) بیان می‌شود:

$$\frac{d}{dr}(rk(r) \frac{dT(r)}{dr}) = 0, \quad a \leq r \leq b \\ C_{11}T(a) + C_{12} \frac{dT(a)}{dr} = f_1 \\ C_{21}T(b) + C_{22} \frac{dT(b)}{dr} = f_2 \quad (11)$$

که در آنها C_{11} ، C_{12} ، C_{21} ، C_{22} ، f_1 و f_2 ثوابت معلوم گرمایی وابسته به جنس و a و b شعاع داخلی و خارجی و k رسانایی گرمایی می‌باشند. k نیز

$$\begin{aligned} d_1 &= [(1-v)\alpha_1 + v]a^{m_1+\alpha_1-1} \\ d_2 &= [(1-v)\alpha_2 + v]a^{m_1+\alpha_2-1} \\ d_3 &= [(1-v)\alpha_1 + v]b^{m_1+\alpha_1-1} \end{aligned} \quad (33)$$

$$\begin{aligned} d_4 &= [(1-v)\alpha_2 + v]b^{m_1+\alpha_2-1} \\ d_5 &= -\frac{p_i(1+v)(1-2v)}{E_0} \\ &\quad - [((1-v)m_2+1)D_1 - (1+v)\alpha_0 A_2] a^{m_1+m_2} \\ &\quad - [((1-v)(m_2-m_3)+1)D_2 \\ &\quad \quad + \frac{1+v}{m_3}\alpha_0 A_1] a^{m_1+m_2-m_3} \end{aligned} \quad (34)$$

$$\begin{aligned} d_6 &= -\frac{p_o(1+v)(1-2v)}{E_0} \\ &\quad - [((1-v)m_2+1)D_1 - (1+v)\alpha_0 A_2] b^{m_1+m_2} \\ &\quad - [((1-v)(m_2-m_3)+1)D_2 \\ &\quad \quad + \frac{1+v}{m_3}\alpha_0 A_1] b^{m_1+m_2-m_3} \end{aligned} \quad (35)$$

در نهایت معادله جابه جایی بر حسب ثوابت یافته شده، به دست می آید:

$$u(r) = B_1 r^{\alpha_1} + B_2 r^{\alpha_2} + D_1 r^{m_2+1} + D_2 r^{m_2-m_3+1} \quad (36)$$

۲-۳-۱- اعمال بار ناشی از دوران و استخراج معادلات بی بعد
استوانه با سرعت ω حول محور خود دوران می کند و با این فرض، بار دیگر معادلات بی بعد با اعمال نیروی گسترده حجمی ناشی از دوران $\rho r \omega^2$ حل می شوند. پارامترهای بی بعدسازی و خواص بی بعد بدین قرارند:

$$\begin{aligned} R &= \frac{r}{r_0}, \quad U = \frac{u}{\bar{u}}, \quad \bar{T} = \frac{T}{\bar{T}} \\ \bar{K} &= \frac{k}{k_0}, \quad \bar{\alpha} = \frac{\alpha}{\alpha_0}, \quad \bar{E} = \frac{E}{E_0}, \quad \bar{\rho} = \frac{\rho}{\rho_0} \end{aligned} \quad (37)$$

$$\bar{K} = R^{m_3}, \quad \bar{\alpha} = R^{m_2}, \quad \bar{E} = R^{m_1}, \quad \bar{\rho} = R^{m_4}$$

که در آن پارامترهای \bar{K} , $\bar{\alpha}$, \bar{E} , $\bar{\rho}$ به ترتیب رسانایی گرمایی، انبساط گرمایی، مدول الاستیسیته و چگالی بی بعد و R , U , T و شاعع، جابه جایی و دمای بی بعد می باشند. m_1, m_2, m_3, m_4 نیز می باشند. با اعمال پارامترهای مذکور، معادله تعادل (۳۷)، به صورت رابطه (۳۸) خواهد بود:

$$\frac{d\sigma_{rr}}{dr} + \frac{1}{r}(\sigma_{rr} - \sigma_{\theta\theta}) + \rho r \omega^2 = 0 \quad (38)$$

$$\begin{aligned} &\frac{E_0}{(1-2v)(1+v)} \left\{ \frac{(1-v)}{r_0^2} \hat{u} \left(\frac{d\bar{E}}{dR} \frac{dU}{dR} + \bar{E} \frac{d^2U}{dR^2} \right) \right. \\ &\quad + \frac{v\hat{u}}{Rr_0^2} \left(\frac{d\bar{E}}{dR} U + \bar{E} \frac{dU}{dR} - \bar{E} \frac{U}{R} \right) \\ &\quad \left. - (1+v) \frac{\hat{T}\alpha_0}{r_0} \left(T \alpha \frac{d\bar{E}}{dR} + E \alpha \frac{d\bar{T}}{dR} + E \bar{T} \frac{d\bar{\alpha}}{dR} \right) \right\} \\ &\quad + \frac{\bar{E}E_0}{(1+v)Rr_0^2} \hat{u} \left(\frac{dU}{dR} - \frac{U}{R} \right) + \bar{\rho} \rho_0 R r_0 \omega^2 = 0 \end{aligned} \quad (39)$$

با تقسیم طرفین معادله (۳۹) بر $\rho_0 r_0 \omega^2$ معادله (۴۰) حاصل می شود:

$$\alpha_1, \alpha_2 = -\frac{m_1^2}{2} \pm \left(\frac{m_1^2}{4} - \frac{v m_1}{1-v} + 1 \right)^{0.5} \quad (41)$$

با توجه به شکل معادله اصلی و طرف ناهمنگ معادله، جواب خصوصی به صورت عبارت (۴۲) تعریف می شود:

$$u^P = D_1 r^{m_2+1} + D_2 r^{m_2-m_3+1} \quad (42)$$

با جایگذاری جواب خصوصی در معادله دیفرانسیل مذکور ثوابت

D_1 و D_2 طبق روابط (۴۳) به دست می آیند:

$$D_1 = \frac{A_3}{q_1}, \quad D_2 = \frac{A_4}{q_2} \quad (43)$$

که در آنها، ثوابت q_1 و q_2 به صورت روابط (۴۴) تعریف می شوند:

$$q_1 = [(m_2+1)m_2 + (m_2+1)(m_1+1) + (\frac{v m_1}{1-v} - 1)] \quad (44)$$

$$q_2 = [(m_2-m_3+1)(m_2-m_3) + (m_1+1)(m_2-m_3+1) + (\frac{v m_1}{1-v} - 1)] \quad (44)$$

جواب کلی معادله دیفرانسیل با رابطه (۴۵) تعریف می شود:

$$\begin{aligned} u(r) &= u^P + u^G \\ &= B_1 r^{\alpha_1} + B_2 r^{\alpha_2} + D_1 r^{m_2+1} + D_2 r^{m_2-m_3+1} \end{aligned} \quad (45)$$

کرنش های شعاعی و مماسی نیز با (۴۶) و (۴۷) تعریف می شوند:

$$\begin{aligned} \epsilon_{rr} &= B_1 \alpha_1 r^{\alpha_1-1} + B_2 \alpha_2 r^{\alpha_2-1} \\ &\quad + D_1 (m_2+1) r^{m_2} + D_2 (m_2-m_3+1) r^{m_2-m_3} \end{aligned} \quad (46)$$

$$\epsilon_{\theta\theta} = B_1 r^{\alpha_1-1} + B_2 r^{\alpha_2-1} + D_1 r^{m_2} + D_2 r^{m_2-m_3} \quad (47)$$

پس از تعیین توزیع کرنش، می توان تنش ها را با استفاده از روابط تنش - کرنش محاسبه نمود:

$$\begin{aligned} \sigma_{rr} &= \frac{E_0 r^{m_1}}{(1+v)(1-2v)} [((1-v)\alpha_1 + v)B_1 r^{\alpha_1-1} \\ &\quad + ((1-v)\alpha_2 + v)B_2 r^{\alpha_2-1}] \end{aligned} \quad (48)$$

$$\begin{aligned} &+ (((1-v)m_2+1)D_1 - (1+v)\alpha_0 A_2)r^{m_2} \\ &\quad + (((1-v)(m_2-m_3)+1)D_2 + \frac{1+v}{m_3}\alpha_0 A_1)r^{m_2-m_3}] \end{aligned}$$

$$\begin{aligned} \sigma_{\theta\theta} &= \frac{E_0 r^{m_1}}{(1+v)(1-2v)} [(1-v) + v\alpha_1]B_1 r^{\alpha_1-1} \\ &\quad + ((1-v) + v\alpha_2)B_2 r^{\alpha_2-1} \\ &\quad + (((vm_2+1)D_1 - (1+v)\alpha_0 A_2)r^{m_2} \\ &\quad + (((v(m_2-m_3)+1)D_2 + \frac{1+v}{m_3}\alpha_0 A_1)r^{m_2-m_3})] \end{aligned} \quad (49)$$

حال شرایط مرزی مربوط به تنش ها با استفاده از معادله کوشی جایگذاری می شوند تا ثوابت انتگرال گیری به دست آیند:

$$\begin{bmatrix} \sigma_{rr} & 0 \\ 0 & \sigma_{\theta\theta} \end{bmatrix} \begin{bmatrix} -1 \\ 0 \end{bmatrix} = \begin{bmatrix} p_i \\ 0 \end{bmatrix} \quad (50)$$

$$\begin{bmatrix} \sigma_{rr} & 0 \\ 0 & \sigma_{\theta\theta} \end{bmatrix} \begin{bmatrix} 1 \\ 0 \end{bmatrix} = \begin{bmatrix} p_o \\ 0 \end{bmatrix} \quad (51)$$

که p_i و p_o به ترتیب فشار داخلی و خارجی می باشند. بنابراین:

$$\sigma_{rr}(a) = -p_i, \quad \sigma_{rr}(b) = -p_o \quad (52)$$

با جانشانی شرایط مرزی (۵۲)، در معادلات تنش (۴۸) و (۴۹)،

ثوابت جواب عمومی نیز به دست می آیند:

$$B_1 = \frac{d_5 d_4 - d_2 d_6}{d_1 d_4 - d_2 d_3}, \quad B_2 = \frac{d_1 d_6 - d_5 d_3}{d_1 d_4 - d_2 d_3} \quad (53)$$

که در آنها، ثوابت d_1 و d_6 به صورت روابط (۴۳) و (۴۴) تعریف می شوند:

$$G_1 = \frac{\bar{C}_{21}\bar{f}_1 - \bar{C}_{11}\bar{f}_2}{\left[\bar{C}_{21}(\bar{C}_{11}\frac{a}{r_o})^{-m_3} - \bar{C}_{12}m_3(\frac{a}{r_o})^{-(m_3+1)} - \bar{C}_{11}(\bar{C}_{21} - \bar{C}_{22}m_3) \right]} \quad (48)$$

$$G_2 = \frac{\left[(\bar{C}_{11}\frac{a}{r_o})^{-m_3} - \bar{C}_{12}m_3(\frac{a}{r_o})^{-(m_3+1)}\bar{f}_2 - (\bar{C}_{21} - \bar{C}_{22}m_3)\bar{f}_1 \right]}{\left[\bar{C}_{21}(\bar{C}_{11}\frac{a}{r_o})^{-m_3} - \bar{C}_{12}m_3(\frac{a}{r_o})^{-(m_3+1)} - \bar{C}_{11}(\bar{C}_{21} - \bar{C}_{22}m_3) \right]} \quad (49)$$

بدین ترتیب با جانشانی دمای بی بعد و خواص فیزیکی در معادله (۴۱)، معادله دیفرانسیل به دست آمده به صورت رابطه (۴۹) ارائه می شود:

$$\frac{d^2U}{dR^2} + \frac{1}{R}(m_1+1)\frac{dU}{dR} + \frac{1}{R^2}\left(\frac{vm_1}{1-v} - 1\right)U = G_3R^{m_2-1} + G_4R^{m_2-m_3-1} + G_5R^{1-m_1+m_4} \quad (49)$$

که ضرایب G_3 , G_4 و G_5 مطابق رابطه (۵۰) تعریف می شوند:

$$G_3 = \frac{1+v}{1-v}G_2(m_2+m_1) \quad (50)$$

$$G_4 = \frac{1+v}{1-v}G_1(m_2+m_1-m_3) \quad (50)$$

$$G_5 = \frac{(2v-1)(1+v)}{(1-v)} \quad (50)$$

برای حل معادله مذبور یک جواب عمومی و یک جواب خصوصی تعریف می شوند که ابتدا جواب عمومی به صورت رابطه (۵۱) می باشد:

$$U^g = H_1R^{\gamma_1} + H_2R^{\gamma_2} \quad (51)$$

که در آن H_1 و H_2 ثوابت جواب عمومی می باشند و در ادامه به دست می آیند. γ_1 و γ_2 نیز با استفاده از معادله مشخصه برنولی (۵۲)، به صورت عبارت (۵۳) به دست می آیند:

$$\gamma(\gamma-1) + (m_1+1)\gamma + \left(\frac{vm_1}{1-v} - 1\right) = 0 \quad (52)$$

$$\gamma^2 + m_1\gamma + \left(\frac{vm_1}{1-v} - 1\right) = 0 \quad (52)$$

$$\gamma_1, \gamma_2 = -\frac{m_1}{2} \pm \left(\frac{m_1^2}{4} - \frac{vm_1}{1-v} + 1\right)^{0.5} \quad (53)$$

با توجه به شکل معادله اصلی و طرف ناهمند معادله، جواب خصوصی به صورت رابطه (۵۴) تعریف می شود:

$$U^p = W_1R^{m_2+1} + W_2R^{m_2-m_3+1} + W_3R^{3-m_1+m_4} \quad (54)$$

برای یافتن ثوابت W_1 , W_2 و W_3 باید جواب خصوصی در معادله دیفرانسیل مذکور جایگذاری شده و برای سادگی حل، ثوابت Z_1 , Z_2 و Z_3 به صورت رابطه (۵۵) تعریف می شوند:

$$Z_1 = (m_2+1)m_2 + (m_2+1)(m_1+1) + \left(\frac{vm_1}{1-v} - 1\right) \quad (55)$$

$$Z_2 = (m_2 - m_3 + 1)(m_2 - m_3) + (m_1+1)(m_2 - m_3 + 1) + \left(\frac{vm_1}{1-v} - 1\right) \quad (55)$$

$$Z_3 = (3 - m_1 + m_4)(2 - m_1 + m_4) + (m_1+1)(3 - m_1 + m_4) + \left(\frac{vm_1}{1-v} - 1\right) \quad (55)$$

بدین ترتیب ثوابت جواب خصوصی مطابق روابط (۵۶) به دست می آیند:

$$W_1 = \frac{G_3}{Z_1}, \quad W_2 = \frac{G_4}{Z_2}, \quad W_3 = \frac{G_5}{Z_3} \quad (56)$$

جواب کلی معادله دیفرانسیل با رابطه (۵۷) تعریف می شود:

$$\frac{E_o}{(1-2v)(1+v)}\left\{\frac{(1-v)}{r_o^2}\frac{1}{\rho_o r_o \omega^2}\hat{u}\left(\frac{d\bar{E}}{dR}\frac{dU}{dR} + \bar{E}\frac{d^2U}{dR^2}\right)\right. \\ \left. + \frac{v\hat{u}}{Rr_o^2}\frac{1}{\rho_o r_o \omega^2}\left(\frac{d\bar{E}}{dR}U + \bar{E}\frac{dU}{dR} - \bar{E}\frac{U}{R}\right)\right. \\ \left. - (1+v)\frac{\hat{T}\alpha_o}{r_o}\frac{1}{\rho_o r_o \omega^2}\left(\bar{T}\alpha\frac{d\bar{E}}{dR} + \bar{E}\alpha\frac{d\bar{T}}{dR} + \bar{E}\bar{T}\frac{d\bar{\alpha}}{dR}\right)\right\} \\ + \frac{\bar{E}E_o}{(1+v)Rr_o^2}\frac{1}{\rho_o r_o \omega^2}\hat{u}\left(\frac{dU}{dR} - \frac{U}{R}\right) + \bar{\rho}R = 0 \quad (39)$$

برای بی بعدسازی معادله، با استی پارامترهای با بعد، از معادله حذف گردند، به این ترتیب پارامترهای مجھول بی بعدسازی دما و جابه جایی مطابق عبارت (۴۰) به دست می آیند:

$$\hat{u} = \frac{\rho_o r_o^3 \omega^2}{E_o}, \quad \hat{T} = \frac{\rho_o r_o^2 \omega^2}{E_o \alpha_o} \quad (40)$$

بنابراین معادله دیفرانسیل جابه جایی در حالت بی بعد دور به شکل معادله (۴۱) به دست می آید:

$$\frac{E_o}{(1-2v)(1+v)}\left\{\left(1-\frac{v}{R}\right)\frac{d\bar{E}}{dR}\frac{dU}{dR} + \bar{E}\frac{d^2U}{dR^2}\right. \\ \left. + \frac{v}{R}\left(\frac{d\bar{E}}{dR}U + \bar{E}\frac{dU}{dR} - \bar{E}\frac{U}{R}\right)\right. \\ \left. - (1+v)\left(\bar{T}\alpha\frac{d\bar{E}}{dR} + \bar{E}\alpha\frac{d\bar{T}}{dR} + \bar{E}\bar{T}\frac{d\bar{\alpha}}{dR}\right)\right\} \\ + \frac{\bar{E}}{(1+v)R}\left(\frac{dU}{dR} - \frac{U}{R}\right) + \bar{\rho}R = 0 \quad (41)$$

اکنون می توان توزیع دمای بی بعد را همانند حالت قبل به دست آورد.

۲-۴- استخراج معادله بی بعد دما

در این قسمت با استفاده از روابط تعریف شده در روابط (۳۶) معادله بی بعد دما همانند حالت با بعد استخراج می شود:

$$\bar{K}k_o \frac{\hat{T}}{r_o} \frac{d\bar{T}}{dR} + Rr_o \frac{k_o}{r_o} \frac{d\bar{K}}{dR} \frac{d\bar{T}}{r_o} \frac{\hat{T}}{r_o^2} \frac{d^2\bar{T}}{dR^2} = 0 \quad (42)$$

$$\bar{K} \frac{d\bar{T}}{dR} + R \frac{d\bar{K}}{dR} \frac{d\bar{T}}{dR} + R \bar{K} \frac{d^2\bar{T}}{dR^2} = 0 \quad (43)$$

با جایگذاری رسانایی گرمایی از رابطه (۳۶)، معادلات (۴۴) و (۴۵) به دست می آیند:

$$R^{m_3} \frac{d\bar{T}}{dR} + m_3 R^{m_3} \frac{d\bar{T}}{dR} + R^{m_3+1} \frac{d^2\bar{T}}{dR^2} = 0 \quad (44)$$

$$R \frac{d^2\bar{T}}{dR^2} + (m_3+1) \frac{d\bar{T}}{dR} = 0 \quad (45)$$

به این ترتیب با حل معادله مشخصه برنولی، معادله بی بعد دما به صورت رابطه (۴۶) حاصل می شود:

$$\bar{T} = G_1R^{-m_3} + G_2 \quad (46)$$

که G_1 و G_2 ثوابت معادله می باشند. با اعمال شرایط مرزی روابط (۱۱) در معادله دما، روابط (۴۷) حاصل می شوند:

$$\bar{C}_{11}\left(-\frac{G_1}{m_3} \frac{a}{r_o}^{-m_3} + G_2\right) + \bar{C}_{12}\left(-G_1m_3 \frac{a}{r_o}^{-(m_3+1)}\right) = \bar{f}_1 \quad (47)$$

$$\bar{C}_{21}(G_1 + G_2) + \bar{C}_{22}(-G_1m_3) = \bar{f}_2 \quad (47)$$

که در آن \bar{C}_{11} , \bar{C}_{12} , \bar{C}_{21} , \bar{C}_{22} , \bar{f}_1 و \bar{f}_2 ثوابت معلوم بی بعد می باشند. با حل دستگاه معادلات (۴۷) ثوابت G_1 و G_2 در معادله دما مطابق روابط (۴۸) تعیین می شوند:

اکنون با جایگذاری شرایط مرزی در رابطه تنش (۶۰)، ثوابت جواب عمومی H_1 و H_2 مطابق رابطه (۶۷) به دست می‌آیند:

$$H_1 = \frac{y_5 y_4 - y_2 y_6}{y_1 y_4 - y_2 y_3}, \quad H_2 = \frac{y_1 y_6 - y_5 y_3}{y_1 y_4 - y_2 y_3} \quad (67)$$

که در آنها، ثوابت y_1 تا y_6 به صورت روابط (۶۸) و (۶۹) تعریف می‌شوند:

$$\begin{aligned} y_1 &= [(1-v)\gamma_1 + v]a^{\gamma_1 - 1} \\ y_2 &= [(1-v)\gamma_2 + v]a^{\gamma_2 - 1} \\ y_3 &= [(1-v)\gamma_1 + v] \\ y_4 &= [(1-v)\gamma_2 + v] \end{aligned} \quad (68)$$

$$\begin{aligned} y_5 &= -\bar{P}_i(1+v)(1-2v)\left(\frac{a}{r_0}\right)^{-m_1} \\ &\quad -[((1-v)m_2 + 1)W_1 - (1+v)G_2]\left(\frac{a}{r_0}\right)^{m_2} \\ &\quad -[((1-v)(m_2 - m_3) + 1)W_2 - (1+v)G_1]\left(\frac{a}{r_0}\right)^{m_2 - m_3} \\ &\quad -[(3-m_1 + m_4)(1-v) + v]W_3\left(\frac{a}{r_0}\right)^{2-m_1 + m_4} \end{aligned} \quad (69)$$

$$\begin{aligned} y_6 &= -\bar{P}_o(1+v)(1-2v) - [(1-v)m_2 + 1)W_1 - (1+v)G_2] \\ &\quad -[((1-v)(m_2 - m_3) + 1)W_2 - (1+v)G_1] \\ &\quad -[(3-m_1 + m_4)(1-v) + v]W_3 \end{aligned}$$

در نهایت، معادله جایه‌جایی بر حسب ثوابت یافته شده تعیین می‌شود:

$$U = H_1 R^{\gamma_1} + H_2 R^{\gamma_2} + W_1 R^{m_2 + 1} + W_2 R^{m_2 - m_3 + 1} + W_3 R^{3 - m_1 + m_4} \quad (70)$$

بدین ترتیب معادلات تنش و کرنش نیز برای حالت دورانی بعد به دست می‌آیند. مطابق آنچه در این بخش ارائه شد، معادلات توزیع دما، میدان جایه‌جایی و معادلات توزیع تنش شعاعی و محیطی در حالت‌های مختلف استخراج شده و پس از حل بهروش تحلیلی، نتایج موردنظر حاصل شده‌اند.

۳- اعتبارسنجی نتایج

مطالعه مشاهده‌ی در مورد تحلیل ترمولاستیک استوانه‌های هدفمند در سال ۲۰۰۲ میلادی توسط جباری و همکاران [۲۱] انجام گرفته است. ایشان با فرض توزیع خواص فیزیکی توانی و برقراری شرایط کرنش صفحه‌ای در یک استوانه هدفمند و برای مشخصات هندسی و شرایط کاری و نیز خواص فیزیکی ارائه شده در جداول ۱ و ۲، نتایج را ارائه نموده‌اند. به منظور اعتبارسنجی، نتایج روابط موجود در بخش قبل برای شرایط ارائه شده در جداول ۱ و ۲ به دست آمده و با نتایج مرجع [۲۱] مقایسه شده است. لازم به ذکر است که با توجه به عدم وجود دوران در پژوهش مذکور، سرعت دورانی صفر در نظر گرفته شده است.

[۲۱]-مشخصات و شرایط کاری در پژوهش جباری و همکاران

مقدار مفروض	مشخصه
۱/۲	نسبت قطر خارجی به داخلی
۱	شعاع داخلی، r_i (m)
.	سرعت دورانی (rpm)
۱۰	دما در جداره داخلی ($^{\circ}$ C)
.	دما در جداره خارجی ($^{\circ}$ C)
۵۰	فشار در جداره داخلی (MPa)
.	فشار در جداره خارجی (MPa)
.	دما مرجع ($^{\circ}$ C)

$$\begin{aligned} U = U^D + U^G &= H_1 R^{\gamma_1} + H_2 R^{\gamma_2} + W_1 R^{m_2 + 1} \\ &\quad + W_2 R^{m_2 - m_3 + 1} + W_3 R^{3 - m_1 + m_4} \end{aligned} \quad (67)$$

کرنش‌های شعاعی و مماسی با روابط (۵۸) و (۵۹) تعریف می‌شوند:

$$\begin{aligned} \epsilon_{rr} &= H_1 \gamma_1 R^{\gamma_1 - 1} + H_2 \gamma_2 R^{\gamma_2 - 1} \\ &\quad + W_1 (m_2 + 1) R^{m_2} + W_2 (m_2 - m_3 + 1) R^{m_2 - m_3} \\ &\quad + W_3 (3 - m_1 + m_4) R^{2 - m_1 + m_4} \end{aligned} \quad (58)$$

$$\begin{aligned} \epsilon_{\theta\theta} &= H_1 R^{\gamma_1 - 1} + H_2 R^{\gamma_2 - 1} + W_1 R^{m_2} \\ &\quad + W_2 R^{m_2 - m_3} + W_3 R^{2 - m_1 + m_4} \end{aligned} \quad (59)$$

پس از آن می‌توان تنش‌ها را با استفاده از روابط تنش-کرنش به شکل روابط (۶۰) و (۶۱) محاسبه کرد:

$$\begin{aligned} \sigma_{rr} &= \frac{R^{m_1}}{(1+v)(1-2v)} [(1-v)\gamma_1 + v] H_1 R^{\gamma_1 - 1} \\ &\quad + ((1-v)\gamma_2 + v) H_2 R^{\gamma_2 - 1} \\ &\quad + (((1-v)m_2 + 1)W_1 - (1+v)G_2) R^{m_2} \\ &\quad + (((1-v)(m_2 - m_3) + 1)W_2 - (1+v)G_1) R^{m_2 - m_3} \\ &\quad + ((3-m_1 + m_4)(1-v) + v) W_3 R^{2 - m_1 + m_4} \end{aligned} \quad (60)$$

$$\begin{aligned} \sigma_{\theta\theta} &= \frac{R^{m_1}}{(1+v)(1-2v)} [(1-v) + v\gamma_1] H_1 R^{\gamma_1 - 1} \\ &\quad + ((1-v) + v\gamma_2) H_2 R^{\gamma_2 - 1} \\ &\quad + ((v(m_2 + 1)W_1 - (1+v)G_2) R^{m_2} \\ &\quad + ((v(m_2 - m_3) + 1)W_2 - (1+v)G_1) R^{m_2 - m_3} \\ &\quad + ((1-v) + v(3 - m_1 + m_4)) W_3 R^{2 - m_1 + m_4}] \end{aligned} \quad (61)$$

حال شرایط مرزی مربوط به تنش‌ها جایگذاری می‌شوند تا به این ترتیب ثوابت جواب عمومی به دست آیند. برای این کار از رابطه کوشی برای سطح داخلی روابط (۶۲) نتیجه می‌شود:

$$\begin{bmatrix} \sigma_{rr} & 0 \\ 0 & \sigma_{\theta\theta} \end{bmatrix} \begin{bmatrix} -1 \\ 0 \end{bmatrix} = \begin{bmatrix} \bar{P}_i \\ 0 \end{bmatrix} \quad (62)$$

که در آن \bar{P}_i فشار داخلی معلوم بی‌بعد می‌باشد. بنابراین تنش بی‌بعد

در جدار داخلی ($\frac{a}{r_0}$) برابر خواهد بود با:

$$\sigma_{rr} \left(\frac{a}{r_0} \right) = -\bar{P}_i \quad (63)$$

با جایگذاری شرایط مرزی در رابطه تنش (۶۰)، معادله به دست می‌آید:

$$\begin{aligned} H_1 [(1-v)\gamma_1 + v] \left(\frac{a}{r_0} \right)^{\gamma_1 - 1} + H_2 [(1-v)\gamma_2 + v] \left(\frac{a}{r_0} \right)^{\gamma_2 - 1} \\ = -\bar{P}_i (1+v)(1-2v) \left(\frac{a}{r_0} \right)^{-m_1} \\ -[((1-v)m_2 + 1)W_1 - (1+v)G_2] \left(\frac{a}{r_0} \right)^{m_2} \\ -[((1-v)(m_2 - m_3) + 1)W_2 - (1+v)G_1] \left(\frac{a}{r_0} \right)^{m_2 - m_3} \\ -[(3-m_1 + m_4)(1-v) + v] W_3 \left(\frac{a}{r_0} \right)^{2 - m_1 + m_4} \end{aligned} \quad (64)$$

به همین ترتیب برای سطح خارجی نیز نتیجه می‌شود:

$$\begin{bmatrix} \sigma_{rr} & 0 \\ 0 & \sigma_{\theta\theta} \end{bmatrix} \begin{bmatrix} 1 \\ 0 \end{bmatrix} = \begin{bmatrix} \bar{P}_o \\ 0 \end{bmatrix} \quad (65)$$

که در آن \bar{P}_o فشار خارجی معلوم بی‌بعد می‌باشد؛ بنابراین تنش بی‌بعد

در جدار خارجی ($\frac{b}{r_0} = 1$) برابر خواهد شد با:

$$\sigma_{rr}(1) = -\bar{P}_o \quad (66)$$

محاسبه شده است. با ترسیم نمودارهای مقایسه‌ای از نتایج حاصل، توان توزیع خواص بهینه محاسبه می‌شود. ابتدا با استفاده از روابط بهدست آمده، نمودارهای توزیع دما، میدان جابه‌جایی و تنش‌های شعاعی، محیطی و مماسی در حالت بی بعد تدوین گردیده و ارائه می‌گردد. سپس ضریب اطمینان در طول جداره تعیین و کمترین مقدار آن به عنوان ضریب اطمینان کل استوانه در نظر گرفته می‌شود. برای حالت‌های مختلف تغییر دما، سرعت دورانی و فشار برای توانهای مختلف توزیع خواص بهدست آمده و نهایتاً سرعت بحرانی بهازی هر توان توزیع خواص استوانه تعیین می‌گردد. شرایط کاری و مزیت برای استوانه موردنظر و نیز خصوصیات فیزیکی مواد اصلی آن در جداول ۳ و ۴ ارائه شده است.

جدول ۳- مشخصات و شرایط کاری استوانه دوار مورد مطالعه

مقدار مفروض	مشخصه
۱/۲	نسبت قطر خارجی به داخلی
۱	شعاع داخلی، r_i (m)
۱۰۰۰	سرعت دورانی (rpm)
۲۰۰	دما در جداره داخلی ($^{\circ}$ C)
۱۰۰	دما در جداره خارجی ($^{\circ}$ C)
۱۰	فشار در جداره داخلی (MPa)
۰	فشار در جداره خارجی (MPa)
۰	دما مرجع ($^{\circ}$ C)
۱	ضریب دمایی C_{21} و C_{11}
۰	ضریب دمایی C_{22} و C_{12}
۲۰۰	ضریب دمایی f_1
۱۰۰	ضریب دمایی f_2

جدول ۴- خواص فیزیکی مورد استفاده [۲۲]

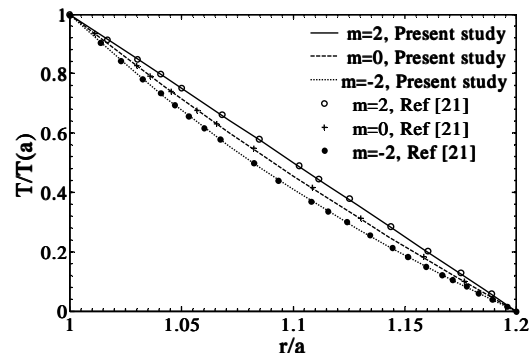
v	E (GPa)	ρ (kg/m ³)	k (W/mK)	α (1/K)	P
۰,۲۵	۷۰	۲۷۰۰	۲۳۷	$۲۳,۱ \times 10^{-6}$	Al
۰,۲۵	۴۱۰	۳۲۰۰	۱۲۰	۴×10^{-6}	SiC

ابتدا توزیع دما مطابق شکل ۳ بر حسب پارامترهای بی بعد بهدست آمده است. همانطور که ملاحظه می‌شود، به علت شرایط مزیت موجود، توزیع دمای برای توانهای مختلف در ابتدا و انتهای بازه یکسان است. در مرحله بعد با استفاده از توزیع دمای موجود، میدان جابه‌جایی بی بعد برای توانهای مختلف توزیع خواص مطابق شکل ۴ بهدست آمده است. پس از بهدست آمدن توزیع دما و جابه‌جایی مقادیر تنش شعاعی بی بعد برای توانهای مختلف بهدست می‌آید. همانطور که در شکل ۵ مشاهده می‌شود، با توجه به شرایط مزیت در دو جدار داخلی و خارجی، مقدار تنش شعاعی در دو سوی استوانه برای توانهای مختلف مواد یکسان است ولی به علت متفاوت بودن توزیع مواد در طول جداره در حالات مختلف، توزیع تنش نیز برای آنها متفاوت می‌باشد.

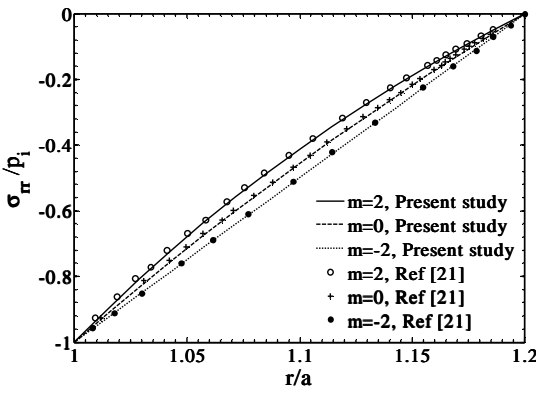
همانند تنش شعاعی، در شکل ۶ تنش محیطی بی بعد نیز بر حسب شعاع بی بعد برای توانهای مختلف توزیع خواص ارائه می‌گردد. همانطور که در شکل ۶ ملاحظه می‌شود، تنش‌های محیطی بهازی توانهای مختلف در شعاع بی بعد حدود ۰,۹ همیگر را قطع می‌کنند. تا قبل از این مقدار، با افزایش توان مقدار تنش محیطی افزایش می‌یابد.

جدول ۲- خواص فیزیکی فرض شده در پژوهش جباری و همکاران [۲۱]

v	E (GPa)	ρ (kg/m ³)	k (W/mK)	α (1/K)
۰,۲۵	۷۰	۲۷۰۰	۲۳۷	$۲۳,۱ \times 10^{-6}$



شکل ۱- دمای بی بعد بهدست آمده در پژوهش حاضر و نتایج موجود در مرجع [۲۱] بر حسب شعاع بی بعد

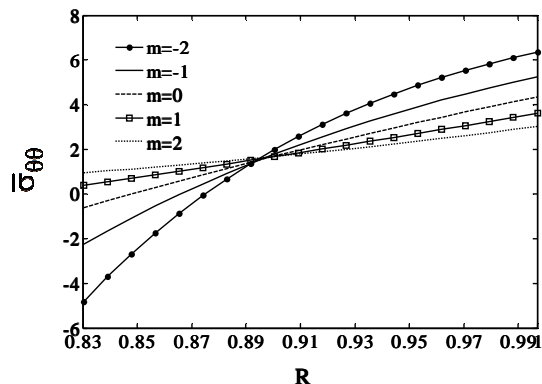


شکل ۲- توزیع تنش شعاعی بهدست آمده در پژوهش حاضر و نتایج موجود در مرجع [۲۱] بر حسب شعاع بی بعد

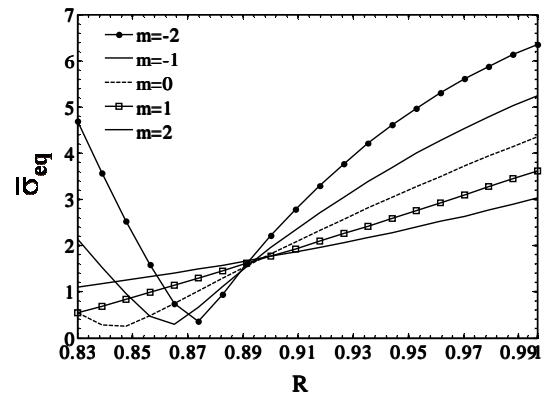
شکل ۱ مقایسه توزیع دمای بهدست آمده در پژوهش حاضر با نتایج ارائه شده توسط جباری و همکارانش را برای توانهای مختلف توزیع خواص را نمایش می‌دهد. شکل ۲ نیز مقایسه توزیع تنش شعاعی محاسبه شده در پژوهش حاضر را با نتایج ارائه شده در مرجع [۲۱] برای توانهای مختلف توزیع خواص نشان می‌دهد. این نمودار توزیع تنش شعاعی بی بعد شده با فشار داخلی را بر حسب شعاع داخلی نمایش می‌دهد. همانطور که ملاحظه می‌شود، نتایج محاسبه شده برای هر دو نمودار توزیع دما و تنش شعاعی با نتایج مرجع [۲۱] در حالت‌های مختلف منطبق می‌باشند. با توجه به نتایج ارائه شده در شکل‌های ۱ و ۲، صحت روش حل تحلیلی به کار رفته و نتایج حاصل از آن تأیید می‌شوند. در ادامه، رفتار گرمایی- مکانیکی مخزن موردنظر تحت بار ناشی از دوران و فشار داخلی مورد بررسی قرار گرفته و با فرض توزیع توانی خواص مواد، توزیع تنش در جداره مخزن تعیین و ضریب اطمینان در حالت‌های مختلف محاسبه می‌شود.

۴- نتایج

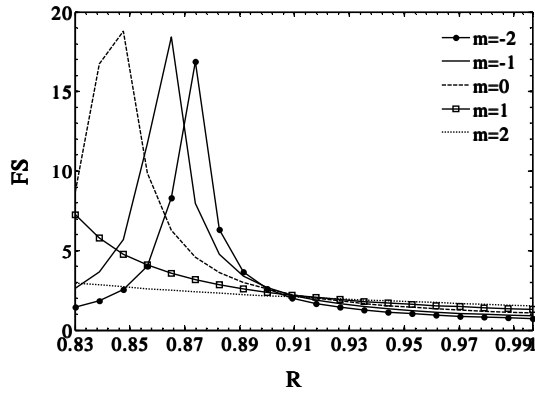
در ادامه، بهازی توان توزیع خواص و سرعت‌های دورانی، فشار داخلی و دمای‌های جداره مختلف برای استوانه موردنظر، توزیع دما، جابه‌جایی و تنش در جداره آن تعیین و بر این اساس ضریب اطمینان



شکل ۶- توزیع تنش محیطی بی بعد بر حسب شاعع بی بعد برای توان های مختلف توزیع خواص



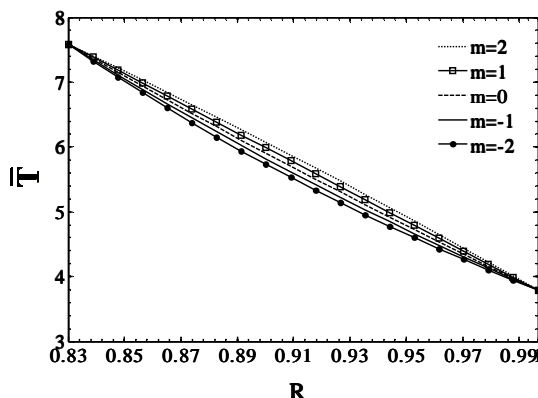
شکل ۷- توزیع تنش معادل بی بعد بر حسب شاعع بی بعد برای توان های مختلف توزیع خواص



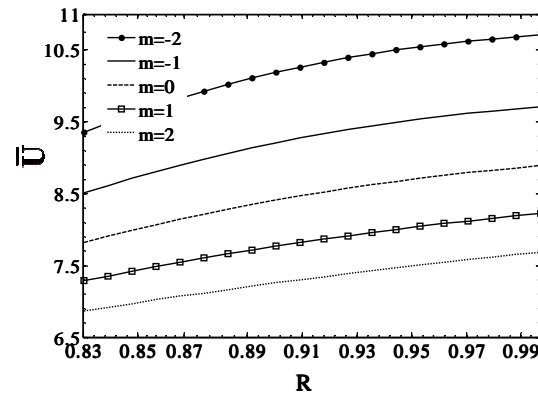
شکل ۸- ضریب اطمینان بر حسب شاعع بی بعد برای توان های مختلف توزیع خواص

بعد از تعیین تنش معادل، با استفاده از رابطه $FS = \bar{S}_y / \bar{\sigma}_{eq}$ ضریب اطمینان برای توان های مختلف توزیع خواص بدست آمده و در شکل ۸ ارائه شده است. چنانچه در شکل ۸ مشخص است، ضرایب اطمینان در شاععی حدود ۰/۹ همدیگر را قطع می‌کنند. همانطور که ملاحظه می‌شود در سمت راست آن، با افزایش توان مقدار ضریب اطمینان افزایش می‌باید بنابراین چنانچه اشاره گردید برای محدوده سمت راست (ناحیه بیرونی جداره) توان های مثبت منجر به ضریب اطمینان بیشتری می‌شوند، به عبارتی در این محدوده توان های مثبت مطلوب مسئله می‌باشند. اما در مورد محدوده سمت چپ (ناحیه داخلی جداره)، نمی‌توان اظهار نظری قطعی ارائه داد. در هر حال کمترین ضریب اطمینان

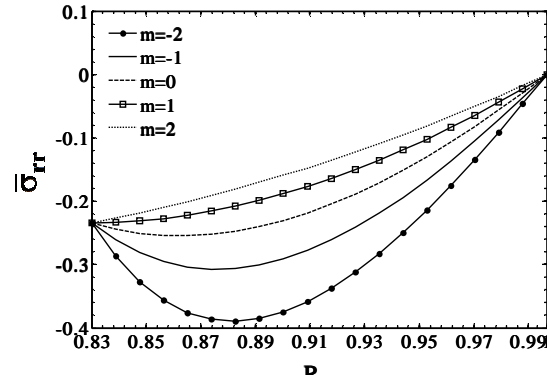
ولی در محدوده بعد از این شاعع، تنش محیطی با افزایش توان کاهش می‌باید. به عبارتی تا قبل از این محل توان های منفی مطلوب بوده و بعد از این مقدار توان های مثبت مطلوب می‌باشند. بعد از تعیین تنش های شاععی و محیطی، تنش های معادل بی بعد فون میسنس ($\bar{\sigma}_{eq}$) برای توان های مختلف توزیع خواص در همان شرایط کاری به دست می‌آیند. در شکل ۷، تنش معادل بر حسب شاعع بی بعد برای توان های مختلف توزیع خواص ارائه شده است. چنانچه در شکل مشاهده می‌شود، تنش های معادل در شاععی حدود ۰/۹ به ازای توان های مختلف مواد هم دیگر را قطع می‌کنند. در محدوده سمت راست این شاعع چنانچه ملاحظه می‌شود تنش معادل با افزایش توان کاهش می‌باید.



شکل ۹- توزیع دمای بی بعد بر حسب شاعع بی بعد برای توان های مختلف توزیع خواص

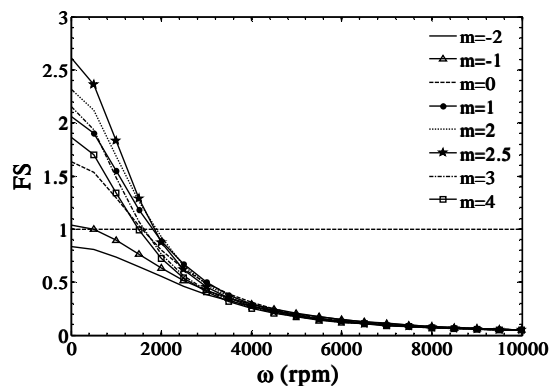


شکل ۱۰- میدان جابجایی بی بعد بر حسب شاعع بی بعد برای توان های مختلف توزیع خواص

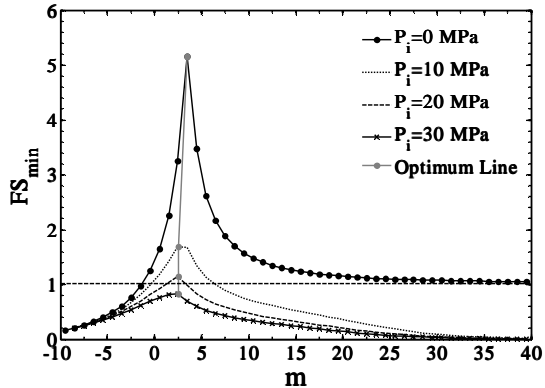


شکل ۱۱- توزیع تنش شاععی بی بعد بر حسب شاعع بی بعد برای توان های مختلف توزیع خواص

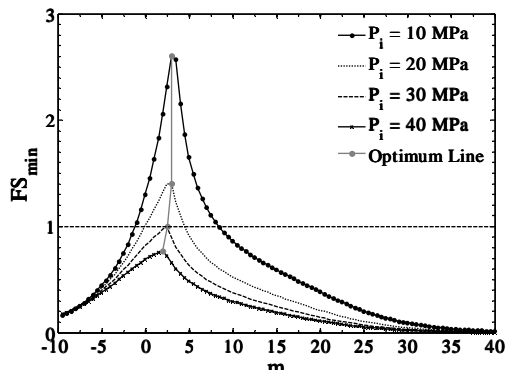
اثر سرعت دورانی در ضریب اطمینان کل استوانه را می‌توان به صورت دیگری مانند شکل ۱۱ ارائه نمود. این شکل نشان می‌دهد که با توزيع توان کمتر از منفی یک ($m < -1$) ضریب اطمینان در هر حال کمتر از یک می‌شود و در عین حال با توان $2/5$ بیشترین ضریب اطمینان حاصل می‌شود. در شکل‌های ۱۲ و ۱۳ تغییر ضریب اطمینان مخزن با فشار داخلی به ترتیب به ازای سرعت‌های دورانی 1000 rpm و حالت غیردورانی با توان توزيع مواد مختلف رسم شده است.



شکل ۱۱- تغییرات ضریب اطمینان با سرعت‌های دورانی مختلف در فشار داخلی 10 MPa برای توان‌های مختلف توزيع خواص



شکل ۱۲- تغییر ضریب اطمینان کل استوانه در فشارهای مختلف بر حسب توان‌های مختلف توزيع خواص با سرعت دورانی ثابت 1000 rpm

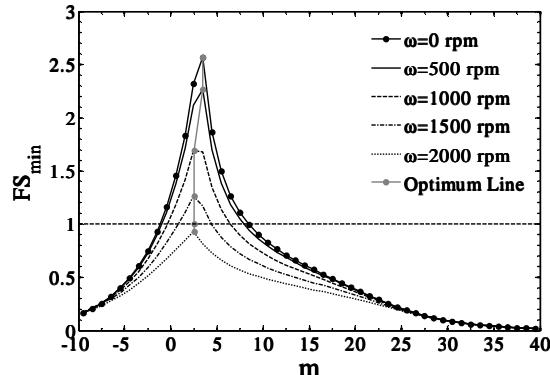


شکل ۱۳- تغییر ضریب اطمینان کل استوانه در فشارهای مختلف بر حسب توان‌های مختلف توزيع خواص بدون سرعت دورانی

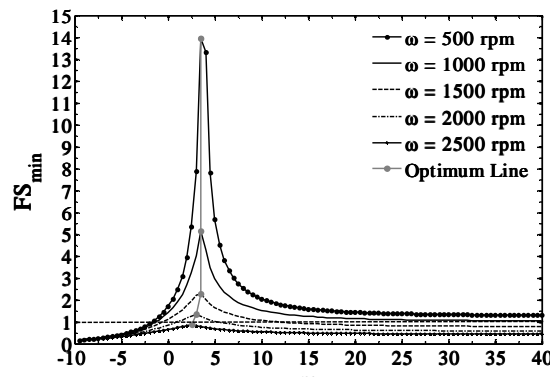
در طول جداره به عنوان ضریب اطمینان کل استوانه تلقی می‌گردد. نتایج نشان می‌دهند که با افزایش سرعت دورانی یا فشار مقدار تنفس افزایش و ضریب اطمینان کاهش می‌یابد. لازم به ذکر است که مقدار تنفس تسليم در جداره خارجی استوانه دوار هدفمند ۲۰۰ مگاپاسکال و توزيع آن در طول جداره، به صورت تابع نمایی فرض شده است. در شعاع بی بعد حدود 0.9 mm مقدار تنفس تسليم 160 MPa مگاپاسکال به دست آمده و در محاسبه ضریب اطمینان مورد استفاده قرار گرفته است.

۴-۱- تعیین توزيع بینه مواد برای استوانه

در ادامه، ابتدا تأثیر تغییر سرعت دورانی در استوانه‌های با توان توزيع خواص مختلف مورد بررسی قرار گرفته‌اند. در شکل ۹ نمودار تغییر ضریب اطمینان کل استوانه بر حسب توان توزيع مواد برای سرعت‌های مختلف در فشار داخلی ثابت 10 MPa مگاپاسکال ارائه شده است. بهمین ترتیب تغییرات ضریب اطمینان با سرعت دورانی در حالت بدون فشار داخلی نیز در شکل ۱۰ ارائه شده است. چنانچه مشخص است با افزایش سرعت، مقدار ضریب اطمینان کاهش می‌یابد.



شکل ۹- تغییر ضریب اطمینان کل استوانه در سرعت‌های مختلف بر حسب توان‌های مختلف توزيع خواص در فشار داخلی 10 MPa



شکل ۱۰- تغییر ضریب اطمینان کل استوانه در سرعت‌های مختلف بر حسب توان‌های مختلف توزيع خواص بدون حضور فشار داخلی

علاوه بر آن نتایج نشان می‌دهند که به ازای توان توزيع خواص مواد حدود 2.5 ، ضریب اطمینان برای مخزن استوانه‌ای هدفمند در سرعت‌های دورانی مختلف مقدار بیشینه را دارد. نتایج حاصل از بررسی

- [7] Hongjun X., Zhifei S., and Taotao Z., Elastic analyses of heterogeneous hollow cylinders, *Mechanics Research Communications*, Vol. 33, No. 5, pp. 681-691, 2006.
- [8] Tutuncu N., Stresses in thick-walled FGM cylinders with exponentially-varying properties, *Engineering Structures*, Vol. 29, No. 9, pp. 2032-2035, 2007.
- [9] Akis T., and Eraslan A.N., Exact solution of rotating FGM shaft problem in the elastoplastic state of stress, *Archive of Applied Mechanics*, Vol. 77, No. 10, pp. 745-765, 2007.
- [10] You L.H., You X.Y., Zhang J.J. and Li J., On rotating circular disks with varying material properties, *Zeitschrift für angewandte Mathematik und Physik*, Vol. 58, No. 6, pp. 1068-1084, 2007.
- [11] Tahani M., and Talebian T., Analysis of Functionally Graded Cylindrical Vessels under Mechanical and Thermal Loads, *Amirkabir Journal Of Mechanical Engineering*, Vol. 41, No. 1, pp. 49-58, 2009. (In Persian)
- [12] Heidari A., and Kazemi M., Elastic-plastic analysis of thick-walled FGM vessels under internal pressure, *Majlesi Journal of Mechanical Engineering*, Vol. 3, No. 1, pp. 11-18, 2009. (In Persian)
- [13] Tutuncu N., and Temel B., A novel approach to stress analysis of pressurized FGM cylinders, disks and spheres, *Composite Structures*, Vol. 91, No. 3, pp. 385-390, 2009.
- [14] Ghajar R., and Mehrabiani S., Thermo-mechanical analysis of thick-walled cylinder with internal FGM coating, considering thermal residual stresses, *Journal of Mechanical Engineering*, Vol. 40, No. 2, pp. 57-66, 2010. (In Persian)
- [15] Mahdavi A., Hojati M., and Alashti R., Thermo-elastic analysis of a rotating FGM disk, with variable thickness, In *ISME Conference*, 2010. (In Persian)
- [16] Ahmadi Nokhandan M., Jabbarzadeh M., Nonlinear thermoelastic analysis of FGM annular rotating discs with FSDT and TSDT shear deformation plate theories, *Modares Mechanical Engineering*, Vol. 14, No. 1, pp. 175-188, 2014. (In Persian)
- [17] Azimi A., and Gholami Sh., Temperature distribution in a hollow cylinder composed of functionally graded material using non-Fourier fractional single phase lag model, *Modares Mechanical Engineering*, Vol. 14, No. 7, pp. 61-67, 2014. (In Persian)
- [18] Ghanbari Mobarakeh M., and Farhatnia F., Thermo Elasto-Plastic analysis of functionally graded thick-walled cylindrical shells based on Prandtl-Reuss flow rule, *Modares Mechanical Engineering*, Vol. 15, No. 1, pp. 211-218, 2015. (In Persian)
- [19] Takabi B., Thermomechanical transient analysis of a thick-hollow FGM cylinder, *Engineering Solid Mechanics*, Vol. 4, No. 1, pp. 25-32, 2016.
- [20] Najibi A., and Shojaeeefard M.H., Elastic Mechanical Stress Analysis in a 2D-FGM Thick Finite Length Hollow Cylinder with Newly Developed Material Model, *Acta Mechanica Solida Sinica*, Vol. 29, No. 2, pp. 178-191, 2016.
- [21] Jabbari M., Sohrabpour S., and Eslami M., Mechanical and thermal stresses in a functionally graded hollow cylinder due to radially symmetric loads, *International Journal of Pressure Vessels and Piping*, Vol. 79, No. 7, pp. 493-497, 2002.
- [22] Loghman A., Arani A.G., Shajari A.R., and Amir S., "Time-dependent thermoelastic creep analysis of rotating disk made of Al-SiC composite", *Archive of Applied Mechanics*, Vol. 81, No. 12, pp. 1853-1864, 2011.

چنانچه ملاحظه می شود، با افزایش فشار داخلی مقدار ضربی اطمینان کاهش می یابد. علاوه بر آن مشاهده می شود که روند تغییر ضربی اطمینان کل استوانه مشابه حالت قبل بوده و با توان توزیع خواص حدود ۲/۵ می توان بیشترین ضربی اطمینان را در فشارهای متفاوت به دست آورد.

۵- نتیجه گیری

در پژوهش حاضر رفتار گرمایی-مکانیکی یک استوانه دوره هدفمند موردن بررسی قرار گرفته است. نتایج به دست آمده نشان می دهند:

- توزیع تنش های محیطی و تنش معادل همدیگر را در یک نقطه با شعاع بی بعد ۰/۹ قطع می کنند. به همین دلیل می توان نتیجه گرفت که رفتار مکانیکی این ناحیه مستقل از توان توزیع خواص مواد است و می توان از این نقطه به عنوان نقطه مرجع برای مقایسه رفتار مخازن مختلف استفاده نمود.

- با توجه به نتایج به دست آمده، در شرایط کاری یکسان و با تغییر سرعت دورانی یا فشار داخلی، برای تمامی استوانه های ساخته شده، توان توزیع خواص حدود ۲/۵ بیشترین ضربی اطمینان را تأمین می کند.

- نتایج به دست آمده نشان می دهند که حتماً می بایست قبل از ساخت استوانه های هدفمند دور که تحت فشار داخلی و گردابیان دمایی می باشند، مقدار بهینه توزیع توانی و یا به بیان دیگر توزیع بهینه مواد در جداره تعیین گردد (برای مثال ۲/۵ در شرایط مورد مطالعه در این مقاله) تا بیشترین ضربی اطمینان برای استوانه حاصل شود.

۶- مراجع

- [1] Tutuncu N., and Ozturk M., Exact solutions for stresses in functionally graded pressure vessels, *Composites Part B: Engineering*, Vol. 32, No. 8, pp. 683-686, 2001.
- [2] Ruhi M., Angoshtari A., and Naghdabadi R., Thermoelastic analysis of thick-walled finite-length cylinders of functionally graded materials, *Journal of Thermal Stresses*, Vol. 28, No.4, pp. 391-408, 2005.
- [3] You L., Zhang J., and You X., Elastic analysis of internally pressurized thick-walled spherical pressure vessels of functionally graded materials, *International Journal of Pressure Vessels and Piping*, Vol. 82, No. 5, pp. 347-354, 2005.
- [4] Dai H., Fu Y., and Dong Z., Exact solutions for functionally graded pressure vessels in a uniform magnetic field, *International journal of solids and structures*, Vol. 43, No. 18, pp. 5570-5580, 2006.
- [5] Eraslan A., and Akis T., On the plane strain and plane stress solutions of functionally graded rotating solid shaft and solid disk problems, *Acta Mechanica*, Vol. 181, No. 1-2, pp. 43-63, 2006.
- [6] Eraslan A.N., and Akis T., Plane strain analytical solutions for a functionally graded elastic-plastic pressurized tube, *International journal of pressure vessels and piping*, Vol. 83, No. 9, pp. 635-644, 2006.